

ляются вариации с периодами $\sim 2-3$ мин и ~ 5 мин. Что касается вариаций других ионосферных параметров, то они, как правило, менее выражены по сравнению с h'_m , но их волнообразные флуктуации прослеживаются достаточно уверенно. Очень сильные колебания значений h'_m и h'_f на $f=4,0 \div 7,0$ МГц, а также величины f_0F2 отмечались во время повторного толчка 26 апреля. Вариации и частотный спектр f_0F2 для этого случая показаны на рис. 4. Периоды вариаций, для которых спектральная плотность максимальна, составляют $T \approx 2-3$ и $5-10$ мин.

Авторы благодарят Немову Е. В. за помощь при проведении расчетов на ЭВМ.

ЛИТЕРАТУРА

1. Шебалин Н. В., Ибрагимов Р. Н., Чернов Ю. К. и др. Газлийские землетрясения 1976 и 1984 гг. — Ташкент: Фан, 1986.
2. Фаткуллин М. Н., Гайворонская Т. В., Зеленова Т. И., Хусамидинов С. С. Препринт ИЗМИРАН № 4 (693). М., 1987.

Институт земного магнетизма, ионосферы
и распространения радиоволн
АН СССР

Поступила в редакцию
3 марта 1987 г.

УДК 621.371.246

О ФЛУКТУАЦИЯХ УРОВНЯ СИГНАЛА ВБЛИЗИ ЛИНИЙ АТМОСФЕРНОГО ПОГЛОЩЕНИЯ С УЧЕТОМ НАПРАВЛЕННОСТИ ИЗЛУЧЕНИЯ АНТЕННЫХ СИСТЕМ

А. С. Брюховецкий, И. М. Фукс, С. И. Ширманова

Ослабление плоской монохроматической волны субмиллиметрового диапазона в водяном паре и кислороде оказывает заметное влияние на величину флуктуаций амплитуды волны, распространяющейся в приземном слое атмосферы [1-4]. Для большего соответствия условиям эксперимента необходимо в расчетах учесть направленности не только передающей [5], но и приемной антенны, что должно привести к обрезанию углового спектра регистрируемых рассеянных волн по сравнению со случаем ненаправленного приемника [5]. В данной работе такой расчет проводится на основании борновского приближения. Конкретные численные результаты приведены для радиочастот ω вблизи линии поглощения атмосферного кислорода $\lambda=5$ мм.

Функции освещенности приемной и передающей антенн предполагаем гауссовыми с эффективными размерами a_0 и a соответственно. Тогда относительное возмущение сигнала $\psi = U_1/U_0$ описывается выражением

$$\psi = (k_0^2/4\pi) \int_0^L dx Q(x) \iint_{-\infty}^{\infty} d^2 r \epsilon_1(x, r) \exp((i/2)\sqrt{\epsilon_0} k_0 Q(x) r^2), \quad (1)$$

где

$$r = (y, z), \quad Q(x) = [L/x(L-x)](1 - i\bar{g})/(1 - ig_0)(1 - ig), \\ g_0 = \sqrt{\epsilon_0} k_0 a_0^2/x, \quad g = \sqrt{\epsilon_0} k_0 a^2/(L-x), \quad \bar{g} = (1/2)\sqrt{\epsilon_0} k_0 (a_0^2 + a^2)/L,$$

L — длина трассы, $k_0 = \omega/c$, $\epsilon_1(\mathbf{R}) = 2[n_1(\mathbf{R}) + i\alpha_1(\mathbf{R})]$ — флуктуации диэлектрической проницаемости, $\epsilon_0 = 1 + i2\alpha_0$ — ее среднее значение.

При $a \rightarrow 0$ или $a, a_0 \rightarrow 0$ (1) переходит в (6) из [5] или (5) из [6], § 49. Пренебрегая разницей в поглощении $\alpha_0 k_0 \Delta L \ll 1$ на расстояниях $\Delta L \sim r^2/2L$ при кармановском пространственном спектре неоднородностей $\varphi(\kappa) = 0,033(\kappa_0^2 + \kappa^2)^{-11/6}$ для квадрата флуктуаций уровня $\langle \chi^2 \rangle = (1/2)\langle \text{Re} \psi^2 + |\psi^2|^2 \rangle$, получим

$$\langle \chi^2 \rangle = 0,033\pi^2 k_0^{7/6} L^{11/6} [C_n^2 B_1 - C_{na}^2 B_2 + C_a^2 B_3]. \quad (2)$$

Здесь

$$B_i = 2\beta^{11/6} \int_0^1 dt \int_0^\infty d\xi \exp(-\xi f_2(t)) (1 + \beta\xi)^{-11/6} R_i(\xi, t) \quad (i = 1, 2, 3),$$

$$R_1(\xi, t) = \sin^2(\xi/2) f_1(t), \quad R_2(\xi, t) = \sin \xi f_1(t), \quad R_3(\xi, t) = \cos^2(\xi/2) f_1(t),$$

$$\beta = k_0/x_0^2 L, \quad t = x/L, \quad \xi = \kappa^2 L/k_0, \quad f_1(t) + if_2(t) = L^{-1} Q^{-1}(t).$$

В случае идентичных антенн ($a=a_0$) величина (2) определяется двумя параметрами: β и $p=L/k_0a^2$. При этом $f_1(t)=[1+p^2t(1-t)](4+p^2)^{-1}$, $f_2(t)=[2+p^2(t^2+(1-t)^2)] \times \rho^{-1}(4+p^2)^{-1}$.

Расчетные зависимости B_i представлены на рис. 1—3, где нумерация 1—6, как и на рис. 4, 5, соответствует значениям β : $2^1, 2^3, 2^5, 2^8, 2^{10}, 2^{15}$.

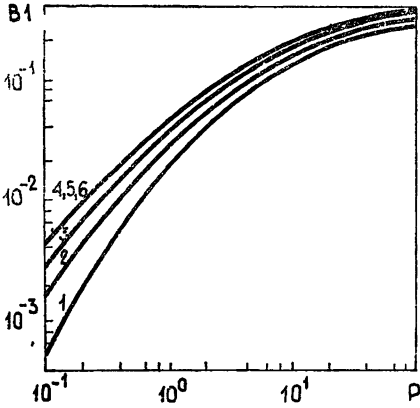


Рис. 1.

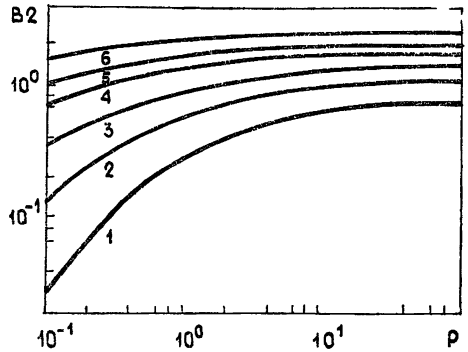


Рис. 2.

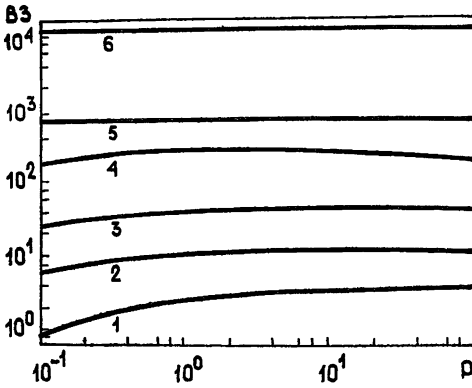


Рис. 3.

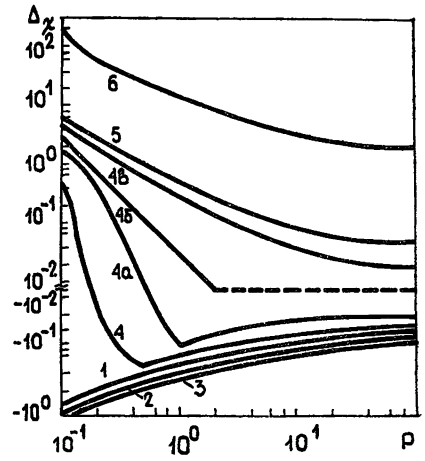


Рис. 4.

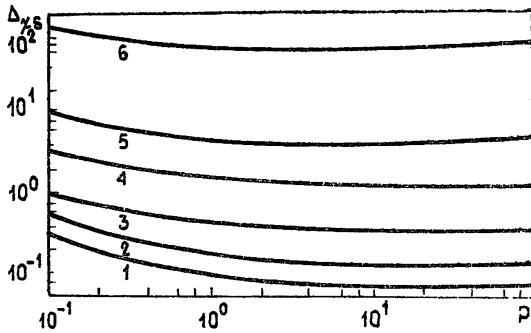


Рис. 5.

Выразив структурные постоянные C_n , C_a и C_{na} через структурные постоянные флуктуаций температуры C_T и влажности C_q в результате вычислений, аналогичных [1, 2, 5], получим

$$\langle \chi^2 \rangle = \langle \chi^2 \rangle_0 (1 + \Delta_\chi),$$

где

$$\langle \chi^2 \rangle_0 = 0,033 \pi^2 k_0^7 l^6 L^{11} / 6 B_1 \left[C_T^2 \left(\frac{\partial n}{\partial T} \right)^2 + C_q^2 \left(\frac{\partial n}{\partial q} \right)^2 \right]$$

— дисперсия флуктуаций уровня амплитуды в отсутствие поглощения,

$$\Delta_{\chi} = \left\{ (B_3/B_1) \left[C_T^2 \left(\frac{\partial \alpha}{\partial T} \right)^2 + C_q^2 \left(\frac{\partial \alpha}{\partial q} \right)^2 \right] - (B_2/B_1) \left(C_T^2 \frac{\partial n}{\partial T} \cdot \frac{\partial \alpha}{\partial T} + C_q^2 \frac{\partial n}{\partial q} \frac{\partial \alpha}{\partial q} \right) \right\} \times \\ \times \left[C_T^2 \left(\frac{\partial n}{\partial T} \right)^2 + C_q^2 \left(\frac{\partial n}{\partial q} \right)^2 \right]^{-1}$$

— относительные изменения дисперсии флуктуаций уровня амплитуды за счет поглощения.

Аналогичным образом определяются выражения для взаимной корреляции амплитуды и фазы $\langle \chi S \rangle = \langle \chi S \rangle_0 (1 + \Delta_{\chi S})$ и для флуктуаций фазы $\langle S^2 \rangle = \langle S^2 \rangle_0 (1 + \Delta_S)$. Для получения численных оценок использовались следующие значения [1, 2]: $C_T = 0,1 \text{ К} \cdot \text{см}^{-1/3}$, $C_q = 10^{-5} \text{ см}^{-1/3}$. Величина $\partial \alpha / \partial T$ бралась из расчетных данных [2], кроме того, как и в [2] использовались значения $\partial n / \partial T = -1,2 \cdot 10^{-6} \text{ К}^{-1}$, $\partial n / \partial q = 0,7 \cdot 10^{-2}$.

Расчетные зависимости Δ_{χ} и $\Delta_{\chi S}$ представлены на рис. 4 и 5. Кривым 4а, б, в отвечают промежуточные значения β : $1,5 \cdot 2^8, 2^9$ и $1,5 \cdot 2^9$ соответственно. Отличие в абсолютных значениях от [5] особенно заметно при всех $\beta > 1$ и малых p (ближняя зона), а также при больших β во всей области исследованных значений p . Взаимная амплитудно-фазовая корреляция, как это видно из рис. 5, также подвержена достаточно сильному влиянию поглощения, в то время как на флуктуациях фазы это практически не отражается ($\Delta_S \ll 1$). В табл. 1 приведено сопоставление расчетных значений отношения $d = \langle \chi_1^2 \rangle / \langle \chi_2^2 \rangle$ на двух частотах для случая плоской волны [2] — d_1 , при учете направленности передающей антенны [5] — d_2 , при учете направленности передающей и приемной антенн d_3 и экспериментальной величины d_0 [7].

Таблица 1

Длина трассы, L , м	Высота трассы, h , м	Частота, ГГц		Расчетные значения			Результаты эксперимента d_0
		F_1	F_2	d_1	d_2	d_3	
550	15	60,3	73,7	0,83 ÷ 1,02	1,14 ÷ 1,77	1,69 ÷ 3,97	1,6 ÷ 3,6
1700	30	60,3	69	0,9 ÷ 1,1	1,33 ÷ 2,12	1,31 ÷ 2,44	1,4 ÷ 3,5
820	26	60,3	73,7	0,89 ÷ 1,24	1,56 ÷ 2,88	2,05 ÷ 5,26	2,6 ÷ 6,2
820	26	64	73,7	0,85 ÷ 0,87	0,88 ÷ 0,96	0,89 ÷ 1,09	0,96 ÷ 1,2

Причем в качестве внешнего масштаба турбулентности $L_0 = \kappa_0^{-1}$ выбраны значения $2h$ и $4h$, а отвечающие им расчетные значения расположены слева и справа от знака ÷ соответственно. За h приняты значения высоты середины трассы над подстилающей поверхностью. Диаметр приемной и передающей антенн — $2a = 110$ см, температура $T = 290 \text{ К}$. Для большего соответствия наблюдаемым значениям C_T на высотах $h \sim 20$ м [7] выбрано значение $C_T = 0,2 \text{ К} \cdot \text{см}^{-1/3}$. Небольшие отличия d_1 и d_2 от приведенных в [2, 5] значений связаны с учетом там влажности q и зависимости $\langle \chi^2 \rangle_0 \sim k_0^{1/6}$ от частоты.

Наши расчеты для условий эксперимента [8] ($L = 4,1$ км, $F_1 = 55,5$ ГГц, $h = 50$ м, $\partial \chi / \partial T = -2,5 \cdot 10^{-2}$ дБ/км·К, $a = 15$ см, $p = 156$) приводят к значениям $\Delta_{\chi} \sim 1,2$ при $L_0 = 2h$ и $\Delta_{\chi} \sim 3,9$ при $L_0 = 4h$, что достаточно хорошо коррелирует с половиной (9 из 19) наблюдавшихся в [8] экспериментальных значений $\Delta_{\chi} \sim 1,17 \div 2,69$. При $L_0 = h/2 \div 2h$ получаем $\Delta_{\chi} \sim 0,043 \div 1,2$, что также согласуется с 7 из 10 остальных значений (0,11 ÷ 0,79). Лишь значения $\Delta_{\chi} = -0,2$; $-0,41$; $-0,44$ не укладываются в нашу схему расчетов и, по-видимому, обусловлены неоднородностью условий распространения по длине трассы, имевшей место именно в этих случаях.

Таким образом, сравнение с экспериментальными данными убедительно свидетельствует о существенной зависимости характера флуктуаций сигнала от направленности приемно-передающих антенных систем.

ЛИТЕРАТУРА

1. Гурвич А. С. — Радиотехника и электроника, 1968, 13, № 11, с. 1923.
2. Шарапов Л. И., Брюховецкий А. С., Ваксер И. Х., Комяк В. А. — Изв. вузов — Радиофизика, 1973, 16, № 10, с. 1504.
3. Lee R. W., Нагр J. С. — Proc. IEEE, 1969, 57, № 4, p. 375.
4. Каневский М. Б. — Изв. вузов — Радиофизика, 1972, 15, № 12, с. 1939.
5. Курбатова Р. И., Фукс И. М., Шарапов Л. И. — Изв. вузов — Радиофизика, 1986, 29, № 3, с. 237.
6. Татарский В. И. Распространение волн в турбулентной атмосфере. — М: Наука, 1967. — 548 с.
7. Алиев А. С. — Изв. АН СССР. — Сер. ФАО, 1981, 17, № 12, с. 1326.

УДК 551.521.3:551.576

**СРЕДНЕЕ ЗНАЧЕНИЕ ЯРКОСТИ ИЗЛУЧЕНИЯ, ОТРАЖЕННОГО
ОТ НЕОДНОРОДНОЙ СТОХАСТИЧЕСКОЙ РАССЕИВАЮЩЕЙ СРЕДЫ
С КРУПНОМАСШТАБНЫМИ НЕОДНОРОДНОСТЯМИ**

А. Н. Валентюк

В работах [1-5] были рассмотрены закономерности прохождения света через слой трехмерно-неоднородной стохастической среды. В данной работе в рамках квазиднократного малоуглового приближения исследуется среднее значение интенсивности излучения, отраженного от такой среды.

Стохастическая реализация яркости излучения, отраженного от стохастического слоя с крупномасштабными неоднородностями, имеющими размеры, много большие ширины функции Грина уравнения переноса излучения, в рамках квазиднократного малоуглового приближения запишется в виде

$$I(\mathbf{r}; \Omega) = \int_z^s \frac{dz_1}{|\mu|} \sigma \left(\rho - \frac{\Omega_{\perp}}{|\mu|} z_{\Delta}; z_1; \Omega; \Omega_0 \right) E \left(\rho - \frac{\Omega_{\perp}}{|\mu|} z_{\Delta}; z_1; \Omega_0 \right) T(\mathbf{r}; \Omega), \quad (1)$$

где $I(\mathbf{r}; \Omega)$ — яркость излучения в точке, определяемой радиусом-вектором \mathbf{r} в направлении, задаваемом единичным вектором Ω , $\{\mathbf{r}\} = \{\rho, z\}$, Ω_{\perp} — проекция Ω на плоскость слоя, μ — направляющий косинус вектора Ω с осью z , $z_{\Delta} = z_1 - z$, $E(\rho; z; \Omega_0)$ — освещенность, создаваемая в точке \mathbf{r} падающим излучением, Ω_0 — единичный вектор, определяющий направление освещения, $T(\mathbf{r}; \Omega)$ — стохастический коэффициент пропускания среды, $\sigma(\rho, z; \Omega, \Omega_0)$ — показатель направленного светорассеяния среды. Выражения для функций $E(\rho, z, \Omega_0)$ и $T(\mathbf{r}; \Omega)$ следуют из [5]:

$$E \left(\rho - \frac{\Omega_{\perp}}{|\mu|} z_{\Delta}; z_1; \Omega_0 \right) = E_0 \exp \left[- \int_0^{z_1} k^*(r_{eu}) \frac{du}{\mu_0} \right],$$

$$T(\mathbf{r}; \Omega) = \exp \left[- \int_z^{z_1} k^*(r_{ou}) \frac{du}{|\mu|} \right],$$

где E_0 — освещенность, создаваемая падающим излучением на верхней плоскости слоя, μ_0 — направляющий косинус вектора Ω_0 с перпендикулярной поверхности слоя осью z , $k^*(r)$ — эффективный показатель поглощения света в точке \mathbf{r} среды,

$$\{r_{eu}\} = \left\{ \rho - \frac{\Omega_{\perp}}{|\mu|} z_{\Delta} - \frac{\Omega_{\perp 0}}{\mu_0} (z_1 - u); u \right\}, \quad \{r_{ou}\} = \left\{ \rho - \frac{\Omega_{\perp}}{|\mu|} (u - z); u \right\}.$$

Эффективный показатель поглощения света $k^*(r)$ связан с показателями поглощения и рассеяния света $k(r)$ и $\sigma(r)$ соотношением $k^*(r) = k(r) + \sigma(r)\Phi(r)$, где $\Phi(r)$ — параметр, равный для тонких слоев доли света, рассеиваемой назад в однократном акте рассеяния.

Среднее значение яркости излучения, отраженного от среды, запишется в виде

$$\langle I(\mathbf{r}; \Omega) \rangle = E_0 \int_z^s \frac{dz_1}{|\mu|} U_0(z_1), \quad (2)$$

где

$$U_0(z_1) = \left\langle \sigma \left(\rho - \frac{\Omega_{\perp}}{|\mu|} z_{\Delta}; z_1; \Omega; \Omega_0 \right) e^{-\Psi(\mathbf{r})} \right\rangle; \quad (3)$$

$$\Psi(\mathbf{r}) = \int_0^{z_1} k^*(r_{eu}) \frac{du}{\mu_0} + \int_z^{z_1} k^*(r_{ou}) \frac{du}{|\mu|}. \quad (4)$$